

Кулакова Е. М. и др.
Б1-9-9253.

+

С345е4
К-90



ОБЪЕДИНЕННЫЙ ИНСТИТУТ ЯДЕРНЫХ ИССЛЕДОВАНИЙ

4995/75

Б1-9-9253

ДЕПОНИРОВАННАЯ ПУБЛИКАЦИЯ

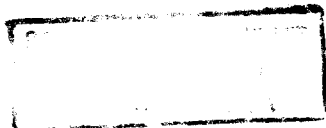
Дубна 1975

Е.М.Кулакова, Р.В.Полякова, Л.А.Смирнова

Б1-9-9253

МОДЕЛИРОВАНИЕ ПОЛЕЙ ОТ ВИТКОВ С ТОКОМ В ПРЯМОЛИНЕЙНЫХ
ПРОМЕЖУТКАХ СИНХРОФАЗОТРОНА

27 экз. 75



1. Введение

Деформация магнита и погрешности поля синхрофазотрона вызывают искажения его вертикальных орбит, что уменьшает рабочую апертуру камеры. Коррекцию этих орбит можно осуществить введением дополнительной горизонтальной составляющей магнитного поля в квадрантах или в прямолинейных промежутках ускорителя.

В предлагаемой работе рассмотрен один из способов получения горизонтальной составляющей магнитного поля B_y от витков с током в прямолинейном промежутке.

На рис. I схематически представлен прямолинейный промежуток синхрофазотрона (длина 800 см, высота 40–60 см, ширина 200 см) с проводниками и принятая система координат.

Здесь ось X является касательной к окружности равновесного радиуса ускорителя в квадрантах R_0 , ось Y направлена по радиусу и $Y > \theta$ соответствует $R > R_0$, а плоскость $Z = 0$ совпадает с плоскостью $Z = 0$ в квадрантах ускорителя.

В каждом прямолинейном промежутке находятся по четыре витка с током, расположенных на расстоянии $Y = \pm 25$ см и $Y = \pm 75$ см. Токи в указанных витках изменяются независимо, что позволяет создать требуемое распределение корректирующего поля по радиусу и азимуту ускорителя. На практике такая система позволяет уменьшить искажение вертикальных орбит до ~ 1 см (без коррекций искажения достигают > 5 см) [1].

2. Подробное описание алгоритма решения задачи

Из формулы Био-Савара -Лапласа для бесконечного проводника [2] имеем, что напряженность магнитного поля в любой точке вычисляется как

$$H = \frac{j}{r_0} \int_0^x \sin \gamma d\gamma ; \quad (I)$$

Напряженность магнитного поля в любой точке $A(x, y, z)$ от конечного прямолинейного проводника A_1A_2 (см. рис. I) вычисляется по формуле

$$B_p = \frac{I}{r_0} \int_{\angle AA_1A_2}^{\angle AA_2A_1} \sin \gamma d\gamma, \quad \text{где} \quad (2)$$

I - ток, протекающий в проводнике,

r_0 - кратчайшее расстояние от т. А до проводника,

γ - переменная интегрированная,

$\angle AA_1A_2$ и $\angle AA_2A_1$ - углы верхнего и нижнего пределов интегрирования определены на рис. I.

Точно так же напряженность в т. А (X, y, z) от нижнего проводника $A_1'A_2'$ будет

$$B_H = \frac{I}{r_0'} \int_{\angle AA_1'A_2'}^{\angle AA_2'A_1'} \sin \gamma d\gamma \quad (3)$$

Длина верхнего и нижнего проводников равна l .

Координаты точек начала и конца проводников заданы:

$$A_1(x_1, y_1, z_1), \quad A_2(x_1+l, y_1, z_1) \quad (4)$$

$$A_1'(x_1, y_1, -z_1), \quad A_2'(x_1+l, y_1, -z_1).$$

Обозначим расстояние от т. А до концов верхнего и нижнего первого проводника (на рис. обозначен I) через a_1, a_2, a_1', a_2' , а углы $\angle AA_1A_2 = \alpha$, $\angle AA_2A_1 = \beta$, $\angle AA_1'A_2' = \alpha'$, $\angle AA_2'A_1' = \beta'$.

Используя эти обозначения преобразуем формулы (2) и (3)

$$B_p = \frac{I}{r_0} \int_{\beta}^{\alpha} \sin \gamma d\gamma = \frac{I}{r_0} (\cos \alpha + \cos \beta), \quad (5)$$

где

$$r_0 = a_1 \sin \beta, \quad \sin \beta = \sqrt{1 - \cos^2 \beta};$$

$$B_H = \frac{I}{r_0'} \int_{\beta'}^{\alpha'} \sin \gamma d\gamma = \frac{I}{r_0'} (\cos \alpha' + \cos \beta'). \quad (6)$$

$$r_0' = a_1' \sin \beta', \quad \sin \beta' = \sqrt{1 - \cos^2 \beta'}.$$

Используя формулы для треугольника, имеем:

$$\cos \alpha = \frac{l^2 + a_2^2 - a_1^2}{2la_2}, \quad (7a)$$

$$\cos \beta = \frac{l^2 + a_1^2 - a_2^2}{2la_1}, \quad (7b)$$

$$\cos \alpha' = \frac{l^2 + a_2'^2 - a_1'^2}{2la_2'}, \quad (7c)$$

$$\cos \beta' = \frac{l^2 + a_1'^2 - a_2'^2}{2la_1'}, \quad (7d)$$

$$a_1 = \sqrt{(x_1 + l - x)^2 + (y_1 - y)^2 + (z_1 - z)^2}; \quad (8a)$$

$$a_2 = \sqrt{(x_1 - x)^2 + (y_1 - y)^2 + (z_1 - z)^2}; \quad (8b)$$

$$a_1' = \sqrt{(x_1 + l - x)^2 + (y_1 - y)^2 + (z_1 + z)^2}; \quad (8c)$$

$$a_2' = \sqrt{(x_1 - x)^2 + (y_1 - y)^2 + (z_1 + z)^2}; \quad (8d)$$

Подставляя (8a ÷ d) в (7a ÷ d), имеем

$$\cos \alpha = - \frac{(x_1 - x)}{\sqrt{(x_1 - x)^2 + (y_1 - y)^2 + (z_1 - z)^2}}, \quad (9a)$$

$$\cos \beta = \frac{l + (x_1 - x)}{\sqrt{(x_1 + l - x)^2 + (y_1 - y)^2 + (z_1 - z)^2}}, \quad (9b)$$

$$\cos \alpha' = - \frac{(x_1 - x)}{\sqrt{(x_1 - x)^2 + (y_1 - y)^2 + (z_1 + z)^2}}, \quad (9c)$$

$$\cos \beta' = \frac{l + (x_1 - x)}{\sqrt{(x_1 + l - x)^2 + (y_1 - y)^2 + (z_1 + z)^2}}, \quad (9d)$$

γ_0 и γ_0' в координатах выражаются следующим образом:

$$\gamma_0 = \sqrt{(x_1 + l - x)^2 + (y_1 - y)^2 + (z_1 - z)^2} \cdot \frac{x - x_1}{\sqrt{(x_1 - x)^2 + (y_1 - y)^2 + (z_1 - z)^2}}; \quad (10)$$

Так как координаты точки A_I x_I , y_I и z_I величины известные, то все величины $(\delta a \div d)$, $(\rho a \div d)$ и (10) определены, а следовательно из (5) и (6) определяются B_B и B_H в любой точке $A(x, y, z)$ от верхнего и нижнего прямолинейного проводника заданной длины l .

Во введении было сказано, что нас интересуют значения B_{By} и B_{Hy} . Их определяем из формулы:

$$B_{By} = B_B \cdot \frac{z - z_I}{\sqrt{(y - y_I)^2 + (z - z_I)^2}}, \quad (11)$$

$$B_{Hy} = B_H \cdot \frac{z + z_I}{\sqrt{(y - y_I)^2 + (z + z_I)^2}},$$

$B_y^{(1)}$ от одного витка, т.е. от суммы верхнего и нижнего проводников, определяется в виде:

$$B_y^{(1)} = B_{By} + B_{Hy} \quad (12)$$

Аналогичным образом (по выше приведенной схеме) вычисляются $B_y^{(2)}$, $B_y^{(3)}$ и $B_y^{(4)}$, создаваемые 2, 3 и 4 витками соответственно. Суммарная B_y от всех четырех витков будет:

$$B_y = \sum_{i=1}^4 B_y^{(i)} \quad (13)$$

3. Краткое описание вычислительной программы

Для расчета B_y по формуле (13) написана программа на Фортране в виде подпрограммы с названием $BYSUM$.

Обращение к ней осуществляется следующим образом

$CALL\ BYSUM(x, y, z, N, x1, y1, z1, AY, C, BY)$.

где X, Y, z - переменные координаты точки $A(x, y, z)$

X_1, Y_1, Z_1 - координаты начала верхнего проводника витка

N - число витков в прямолинейном промежутке

A_j - массив размерности N , в котором задаются значения токов в каждом из витков

C - длина проводника

B_y - вычисляемая величина поля.

Настоящая подпрограмма входит в пакет программ *BUMP*, *DISTOR* и *ORBITA* [3], которые обращаются к ней при вычислении корректирующего поля в каждом из четырех прямолинейных промежутках ускорителя.

Кроме того ее можно использовать для расчета магнитного поля для безжелезного прямоугольного магнита.

На рис. 2, 3, 4 приведены распределения $B_y(y)$ для $z = 0$ и 2 $x = 10$, $J_1 = 1, 2, 3a$; $J_2 = 1a$; $J_3 = -1a$; $J_4 = -1, 2, 3a$.

Л И Т Е Р А Т У Р А

1. Ю.Д.Безногих и др. Некоторые характеристики синхрофазотрона ОИЯИ (~~отчет за I-II кварталы 1972 г.~~) Депонированное сообщение ОИЯИ, Б-2-9-7208, Дубна, 1972 г.
2. С.Э.Фриш и А.В. *Тимшорева* . Курс общей физики, т.2.
3. Б.В.Василишин, Е.П.Жидков и др. Математическое моделирование пространственного многооборотного движения частиц в циклических ускорителях с учетом геометрических искажений магнита ОИЯИ ДЮ-7707, Труды *совещание по программ. и мет. методам расчета физ. задач* Дубна, 1974, с 38-47.

ПОДПИСИ К РИСУНКАМ

Рис. 1. Схематическое расположение проводников в прямолинейном промежутке и принятая прямоугольная система координат.

Рис. 2. Расчетные распределения $B_y(y)$ для $x = 10$ см и $z = 0,2$ см и токах $J_1 = 1a$, $J_2 = 1a$, $J_3 = -1a$, $J_4 = -1a$.

Рис. 3. Расчетные распределения $B_y(y)$ для $x = 10$ см и $z = 0$ и 2 см $J_1 = 2a$, $J_2 = 1a$, $J_3 = -1a$, $J_4 = -2a$.

Рис. 4. Расчетные распределения $B_y(y)$ для $x = 10$ см и $z = 0$ и 2 см $J_1 = 3a$, $J_2 = 1a$, $J_3 = -1a$, $J_4 = -3a$.

О. М. М.
К. С. М.
П. О. М.

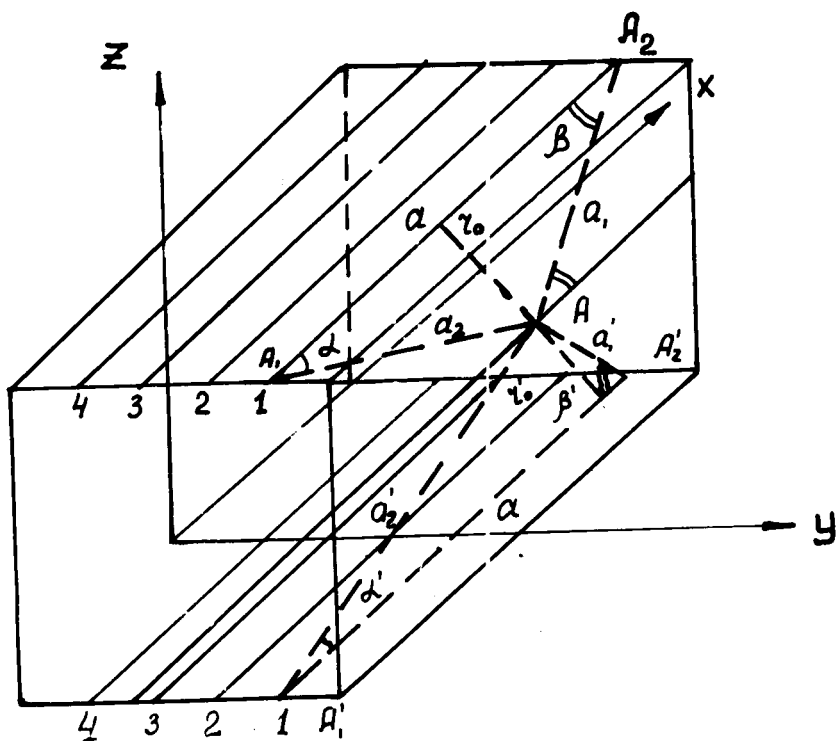


Рис.1.

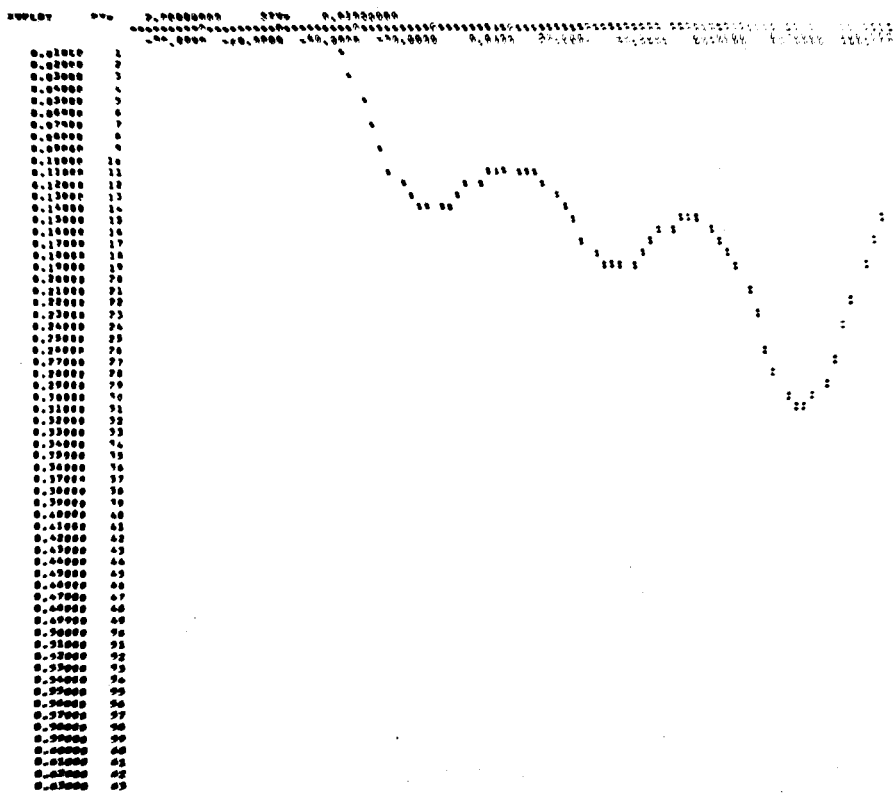


Рис.2.

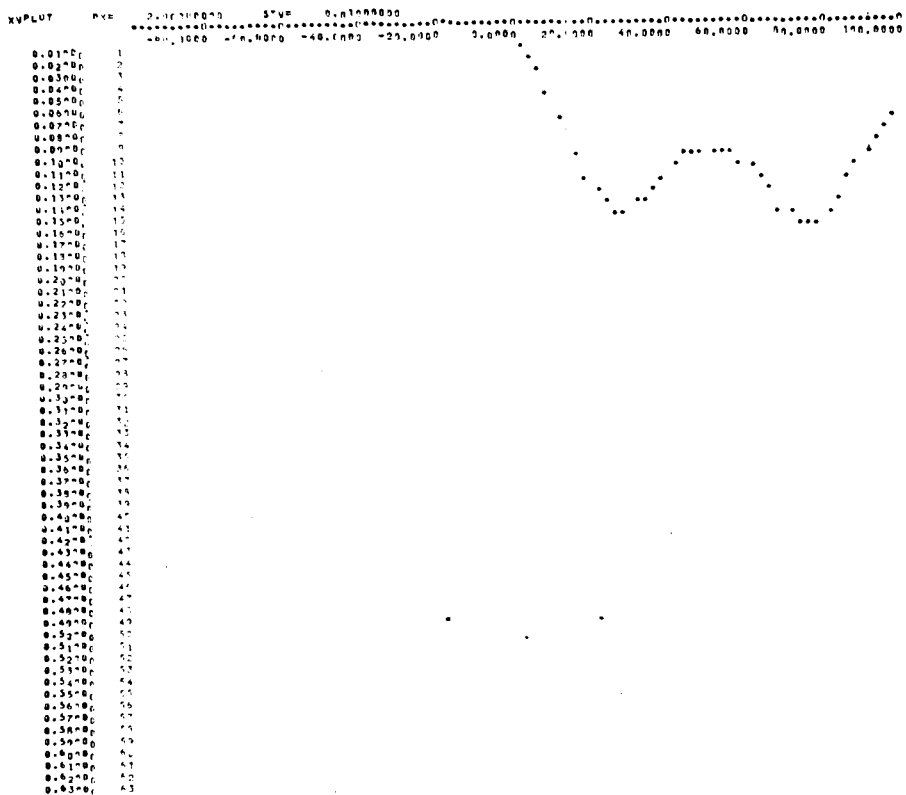


Рис. 3.

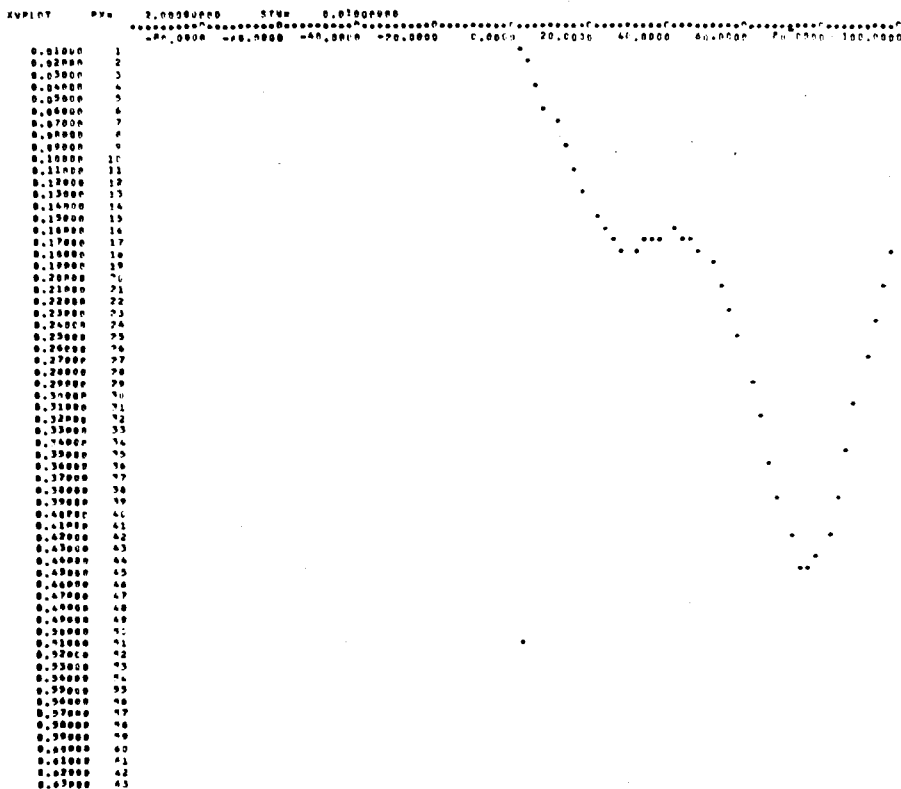


Рис. 4.